

14-2 図1に示すようにシリンダー(円筒容器)が水平な床に対して垂直に固定されている。 n [mol]の単原子分子の理想気体Gが、ばね定数 k [N/m]のばねで連結されたなめらかに上下に移動できる質量 m [kg]のピストンによってシリンダーに封入されている。ばねの質量は無視できる。ピストンの上部の空間は容器にあけられた穴によって大気圧 P_0 [Pa]となっている。シリンダー内の気体Gは、シリンダー底部に設置された加熱・冷却器とのみ熱のやり取りを行う。また、ピストンとシリンダーの熱膨張はないものとする。

重力加速度の大きさを g [m/s²]、気体定数を R [J/(mol·K)]、ピストンの断面積を S [m²]とする。また、定積モル比熱 C_v [J/(mol·K)]、定圧モル比熱 C_p [J/(mol·K)]は、それぞれ以下のように表される。

$$C_v = \frac{3}{2}R, C_p = \frac{5}{2}R$$

以下の文章の空欄に適切な数式を入れよ。

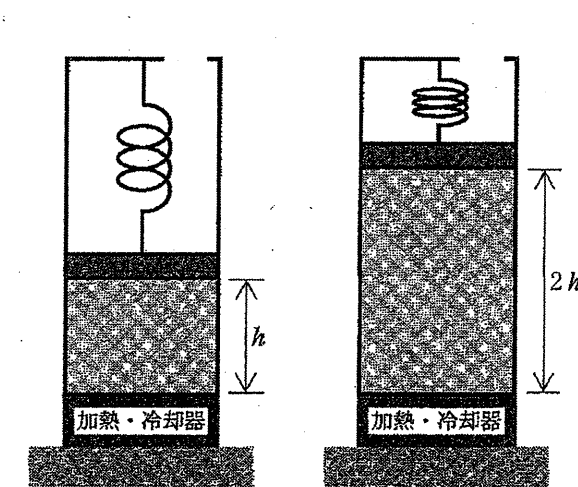
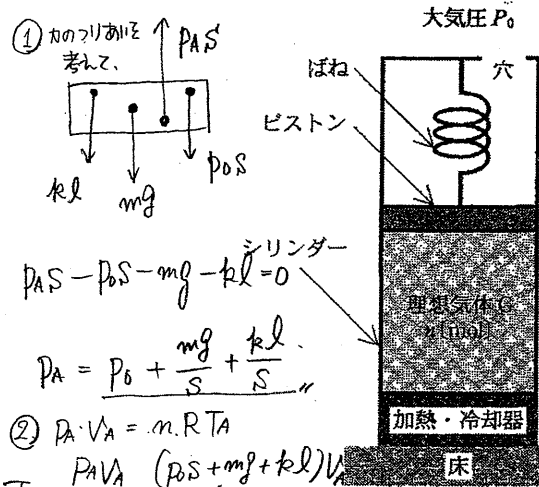


図2 (状態B)

図3 (状態C)

1. 図1に気体Gのはじめの状態(状態A)を示す。ばねは自然長よりも l [m]だけ縮んでおり、ピストンは静止していた。状態Aにおける気体Gの圧力を P_A [Pa]、温度を T_A [K]、体積を V_A [m³]とする。

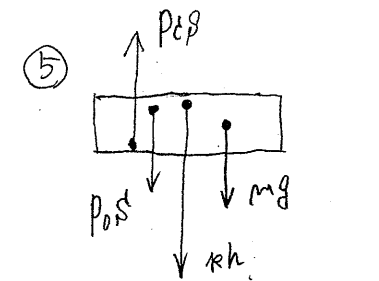
P_A は、 P_0 、 m 、 g 、 S 、 l 、 k を用いて ① [Pa]となる。また、 T_A は、 P_0 、 V_A 、 m 、 n 、 S 、 l 、 R 、 g 、 k を用いて ② [K]となる。

2. つぎに、気体Gを温度 T_B [K]までゆっくり冷却すると、ピストンはばねを伸ばしながら下方へゆっくりと移動し、図2に示すようにシリンダーの底部から h [m]の高さで静止した。このとき気体Gの圧力は P_B [Pa]で、ばねは自然長であった。この状態を状態Bとする。 T_B は、 P_0 、 n 、 R 、 S 、 h 、 m 、 g を用いて ③ [K]となる。また、大気圧 P_0 は、 P_B 、 m 、 g 、 S を用いて ④ [Pa]となる。

$$\begin{aligned} P_B &= P_0 + \frac{mg}{S} \quad \text{④} \quad \rightarrow P_0 = P_B - \frac{mg}{S} \\ ③: P_B \cdot Sh &= mR T_B \\ T_B &= \frac{P_B S \cdot h}{mR} = \frac{(P_0 S + mg)h}{mR} \end{aligned}$$

3. つぎに、気体Gを状態Bから温度 T_C [K]までゆっくり加熱すると、ピストンはばねを縮めながら上方へゆっくりと移動し、図3に示すようにシリンダーの底部から $2h$ [m]の高さで静止した。この状態を状態Cとする。状態Cにおける気体Gの圧力 P_C は、 P_B 、 h 、 S 、 k を用いて ⑤ [Pa]となる。また、ボイル・シャルルの法則より、 T_C は、 P_B 、 h 、 S 、 k 、 T_B を用いて ⑥ [K]となる。

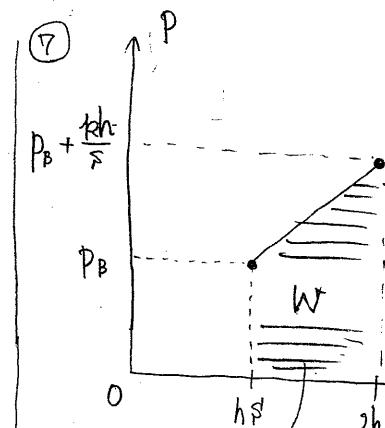
状態Bから状態Cへの状態変化を体積-圧力のグラフ上に示すと直線関係となる。状態Bから状態Cまでの過程で気体Gがした仕事 W_{BC} は、 P_B 、 h 、 S 、 k を用いて ⑦ [J]となる。状態Bから状態Cまでの過程で気体Gの内部エネルギーの増加 ΔU_{BC} は、 P_B 、 h 、 S 、 k を用いて ⑧ [J]となる。したがって、状態Bから状態Cまでの過程で気体Gに与えられた熱量 Q_{BC} は、 P_B 、 h 、 S 、 k を用いて ⑨ [J]となる。



$$\begin{aligned} ⑤: P_C S &= P_B S + kh + mg \\ &\sim \text{代入} \\ &= P_B S + \frac{kh}{S} \\ P_C &= P_B + \frac{kh}{S} \end{aligned}$$

$$\text{⑥ ボイル・シャルル} \quad \frac{P_B h S}{T_B} = \frac{(P_B + \frac{kh}{S}) 2h S}{T_C}$$

$$T_C = 2 \left(1 + \frac{kh}{P_B S} \right) T_B$$



$$\begin{aligned} ⑦: W &= \frac{P_B h S + \frac{1}{2} kh^2}{T_B} \\ &\quad + \frac{P_B h S + \frac{1}{2} kh^2}{T_C} \\ ⑧: \frac{3}{2} m R \Delta T &= \frac{3}{2} m R \left(2T_B + \frac{2kh}{P_B S} T_B - T_C \right) \\ &= \frac{3}{2} m R \cdot \left(T_B + \frac{2kh}{P_B S} \cdot T_B \right) \end{aligned}$$

(2012年 室蘭工業大)

$$\begin{aligned} ①: P_0 + \frac{mg + kl}{S} & \quad ②: \frac{(P_0 S + mg + kl)V_A}{n R S} \\ ③: \frac{(P_0 S + mg)h}{n R} & \quad ④: P_B - \frac{mg}{S} \quad ⑤: P_B + \frac{kh}{S} \\ ⑥: 2 \left(1 + \frac{kh}{P_B S} \right) T_B & \quad ⑦: P_B S h + \frac{1}{2} kh^2 \quad ⑧: \frac{3}{2} P_B S h + 3kh^2 \\ ⑨: \frac{5}{2} P_B S h + \frac{7}{2} kh^2 & \end{aligned}$$